

FIG. 1

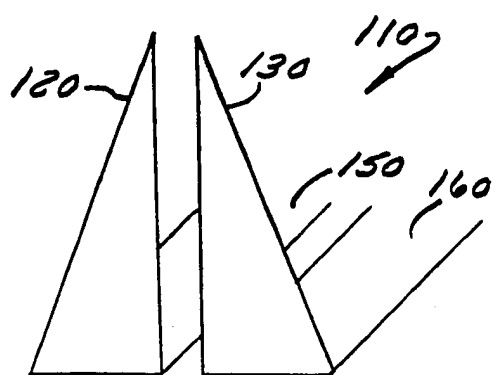
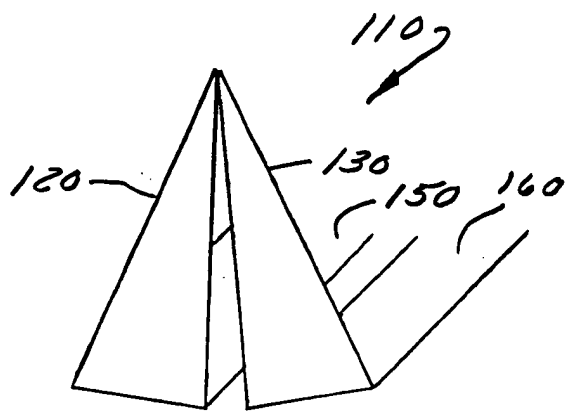


FIG. 2

FIG. 3

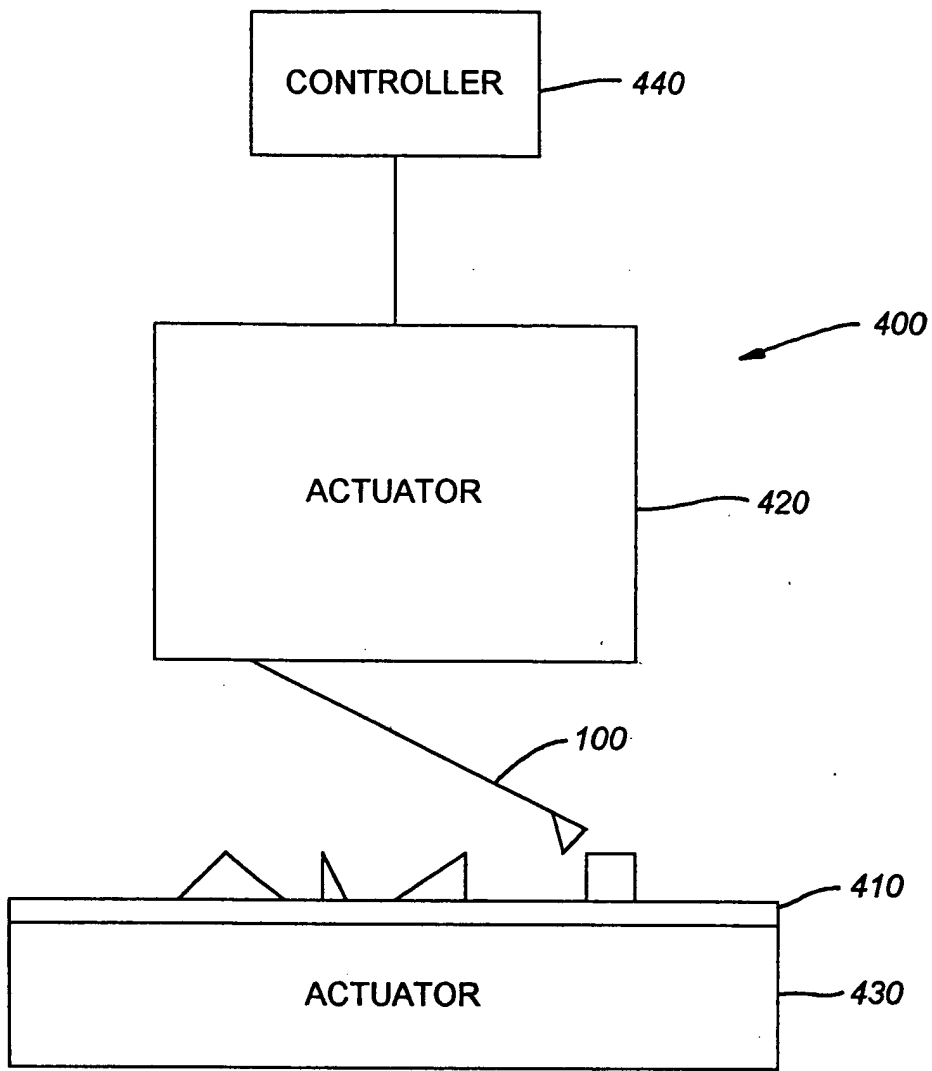


FIG. 4

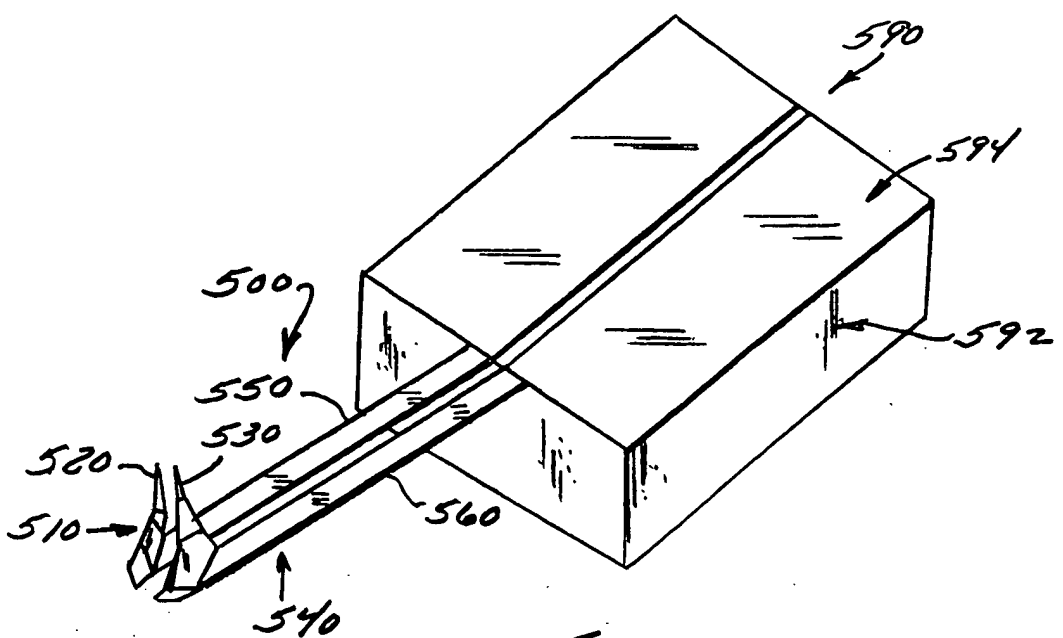


FIG. 5

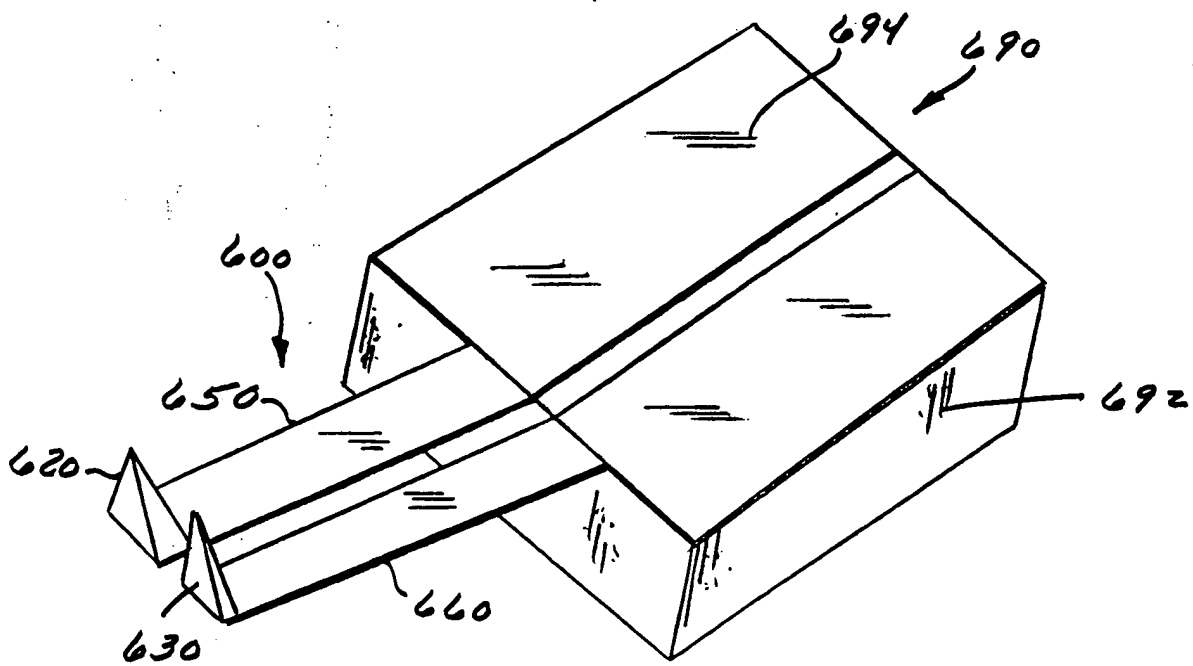


FIG. 6

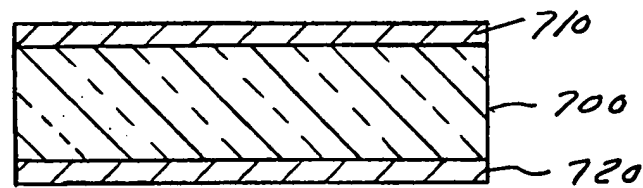


FIG. 7

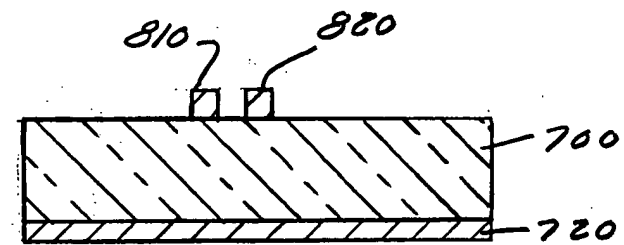


FIG. 8

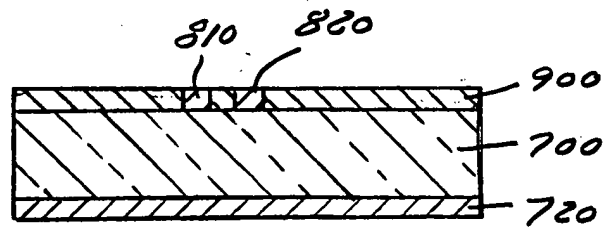


FIG. 9

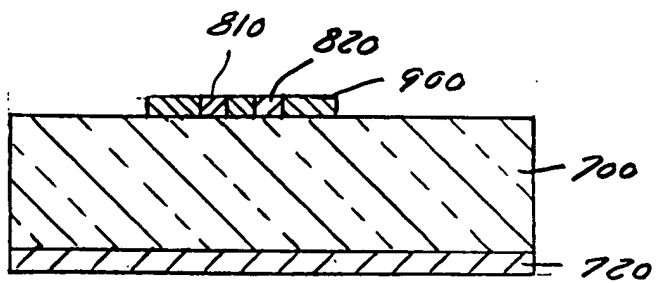


FIG. 10

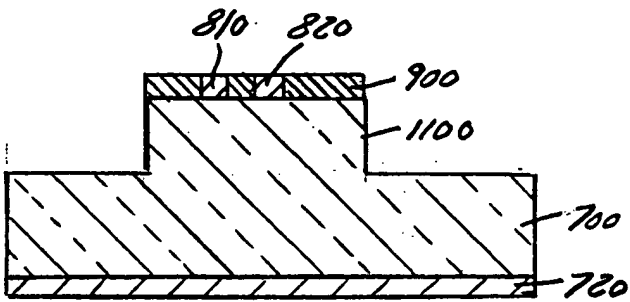


FIG. 11

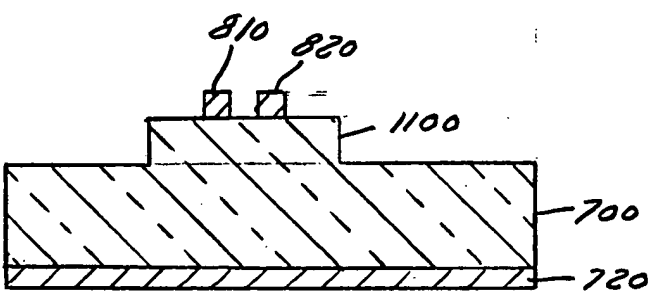


FIG. 12

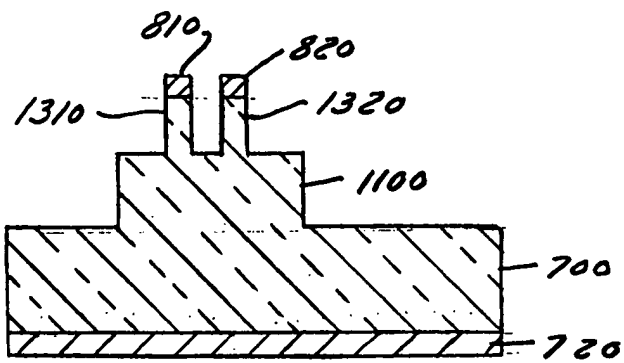


FIG. 13

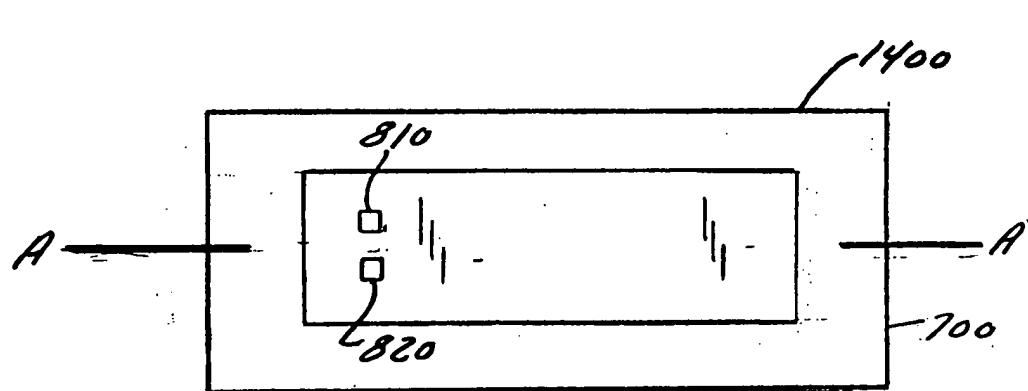


FIG. 14

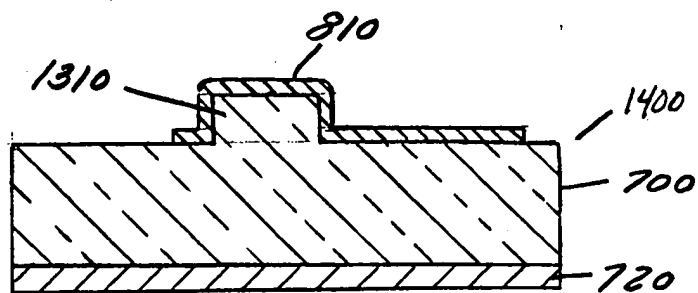


FIG. 15

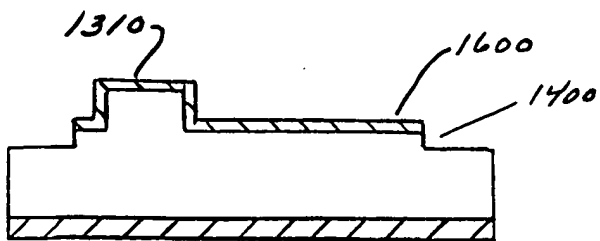


FIG. 16

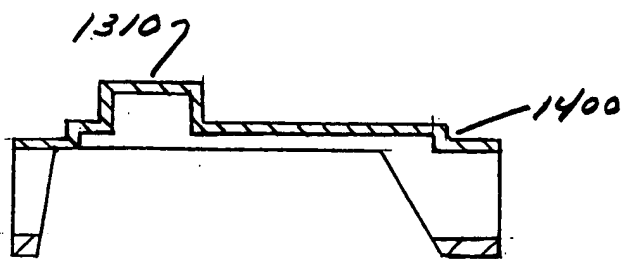


FIG. 17

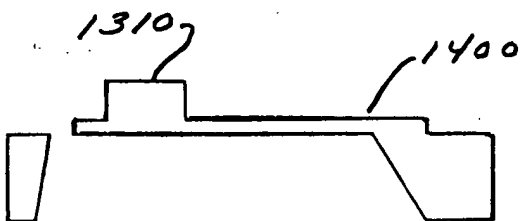


FIG. 18

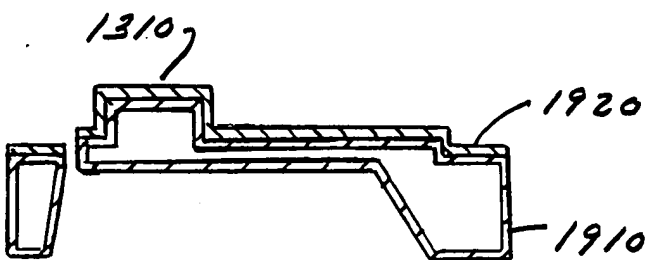


FIG. 19

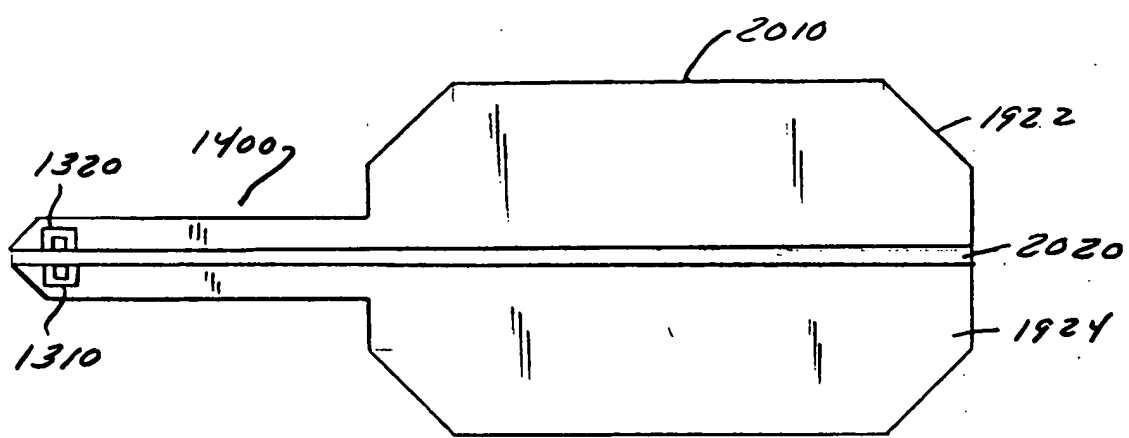


FIG. 20

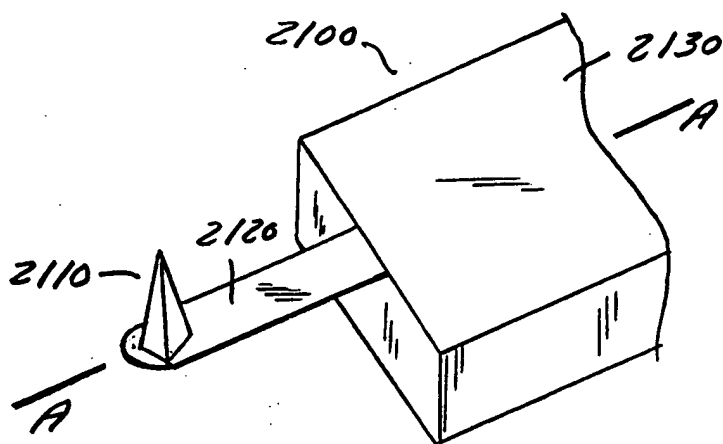


FIG. 21

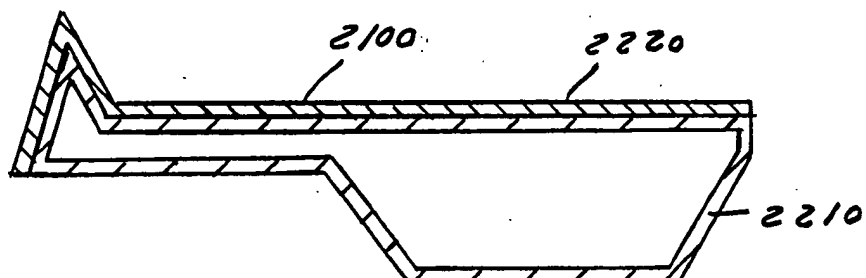


FIG. 22

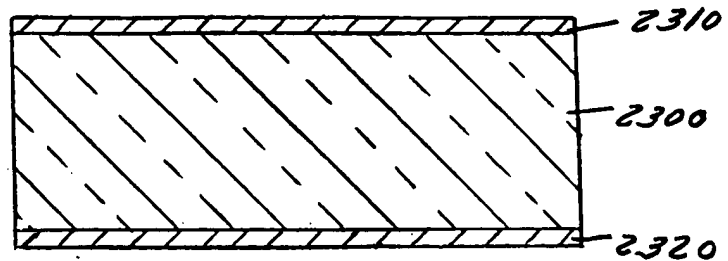


FIG. 23

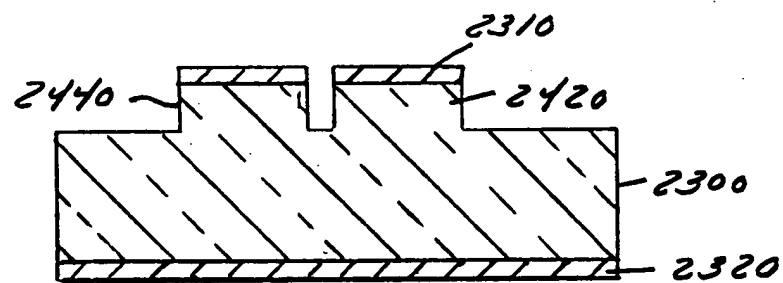


FIG. 24

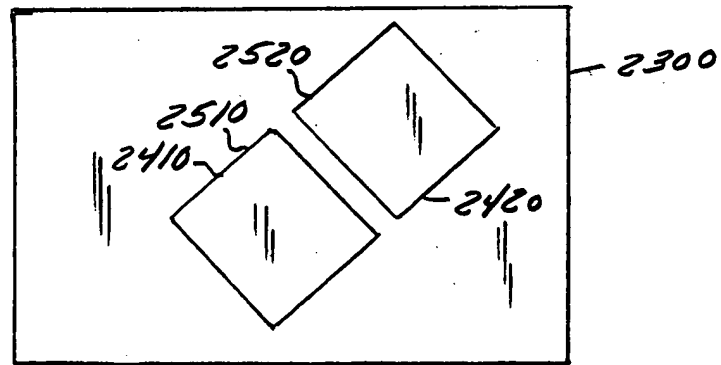


FIG. 25

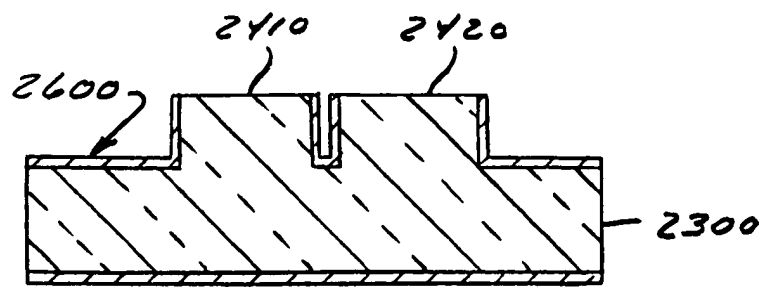


FIG. 26

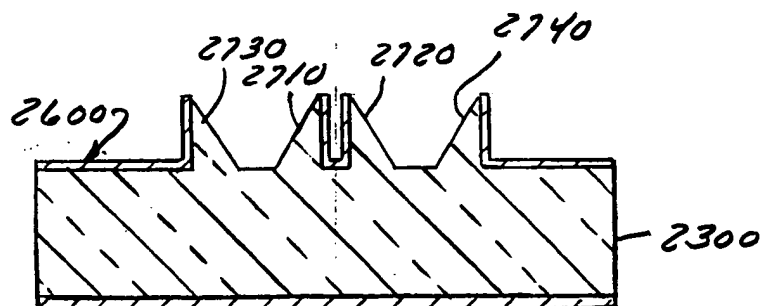


FIG. 27

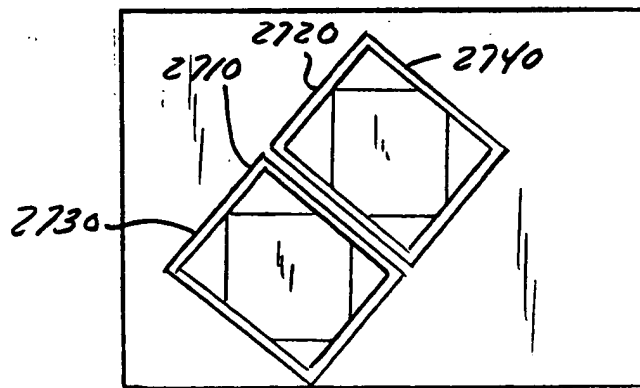


FIG. 28

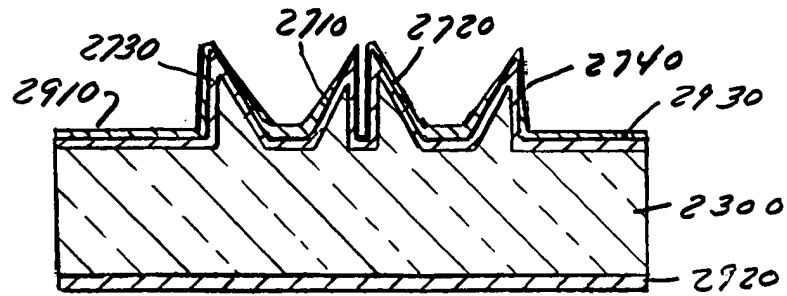


FIG. 29

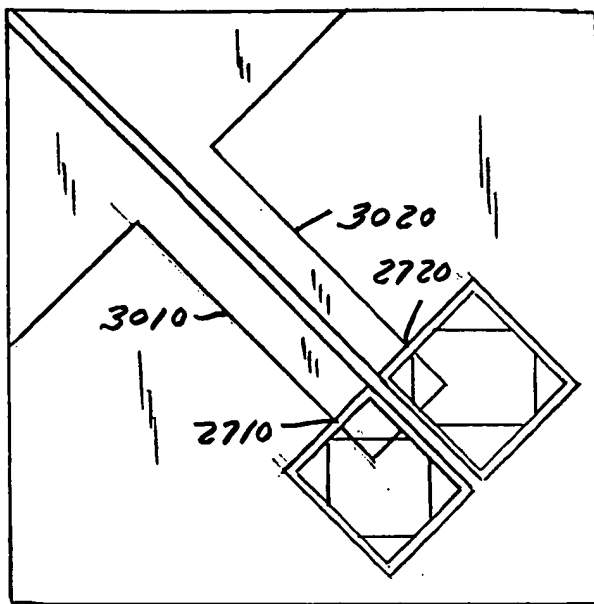


FIG. 30

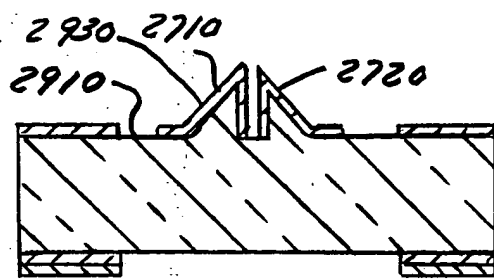


FIG. 31

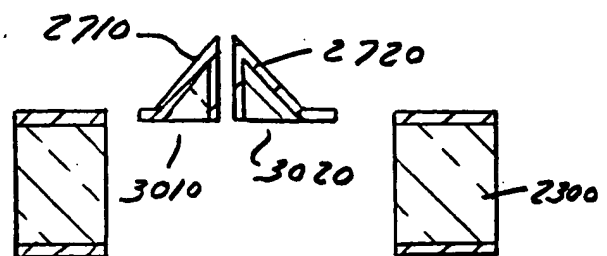


FIG. 32

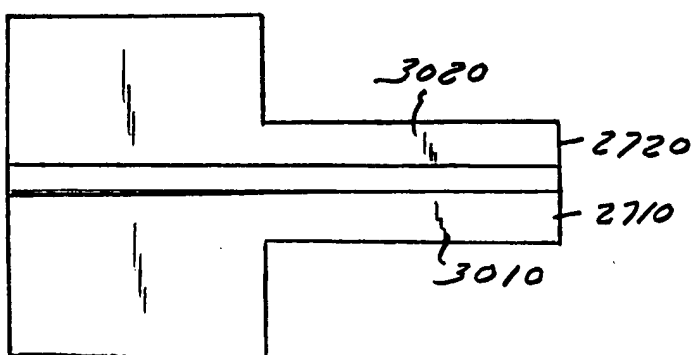


FIG. 33

WANOMAN GUIT

3490

3400-1

3402 15nm $Ti/S+2.2\mu m, t=3.6\mu m$ 5μm

ANALYSIS	SCANNING	CURVES	SCORE	TESTS
1645	1645	2645	2645	1645

بُشْرَى مُحَمَّد

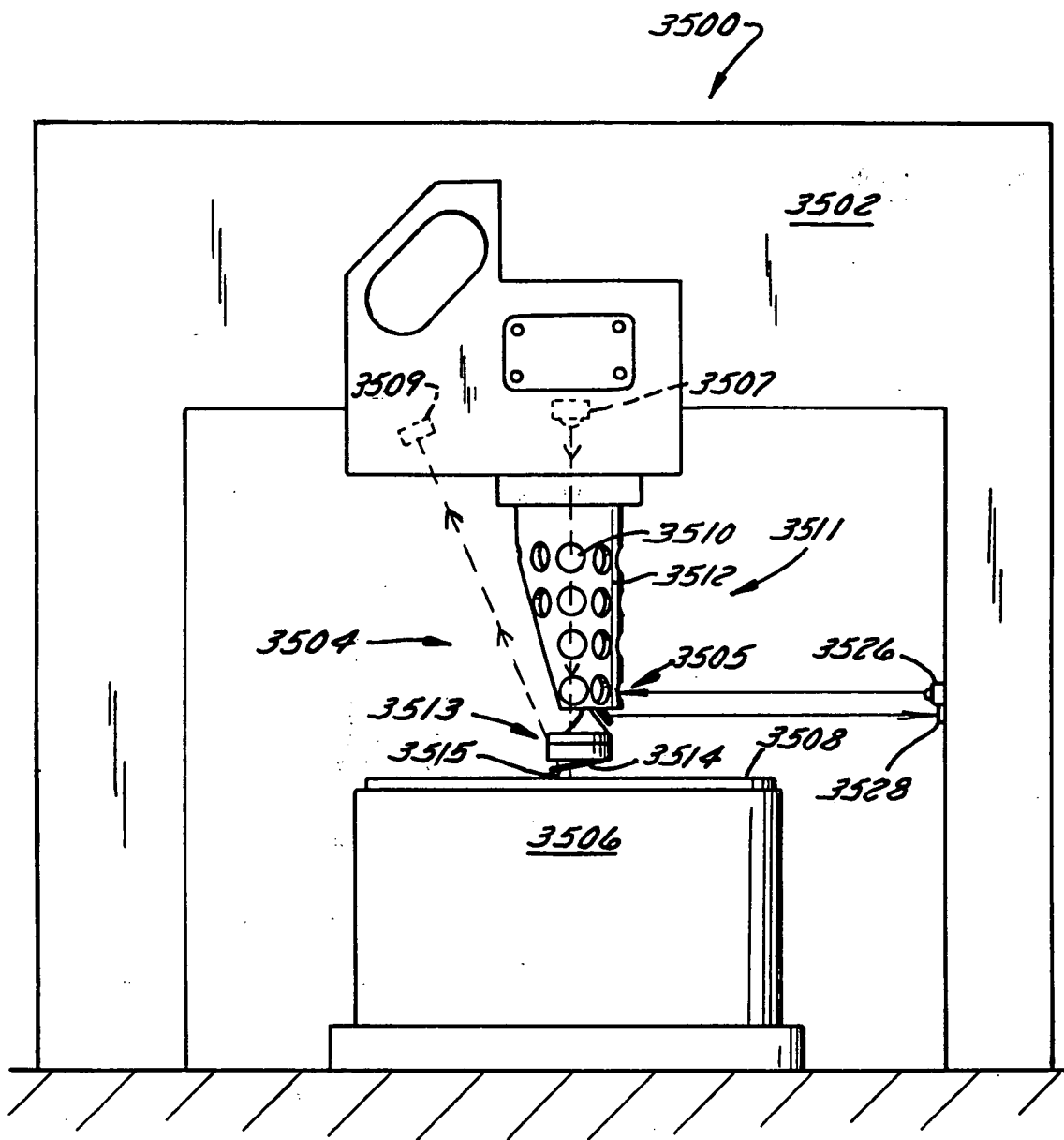


FIG. 35

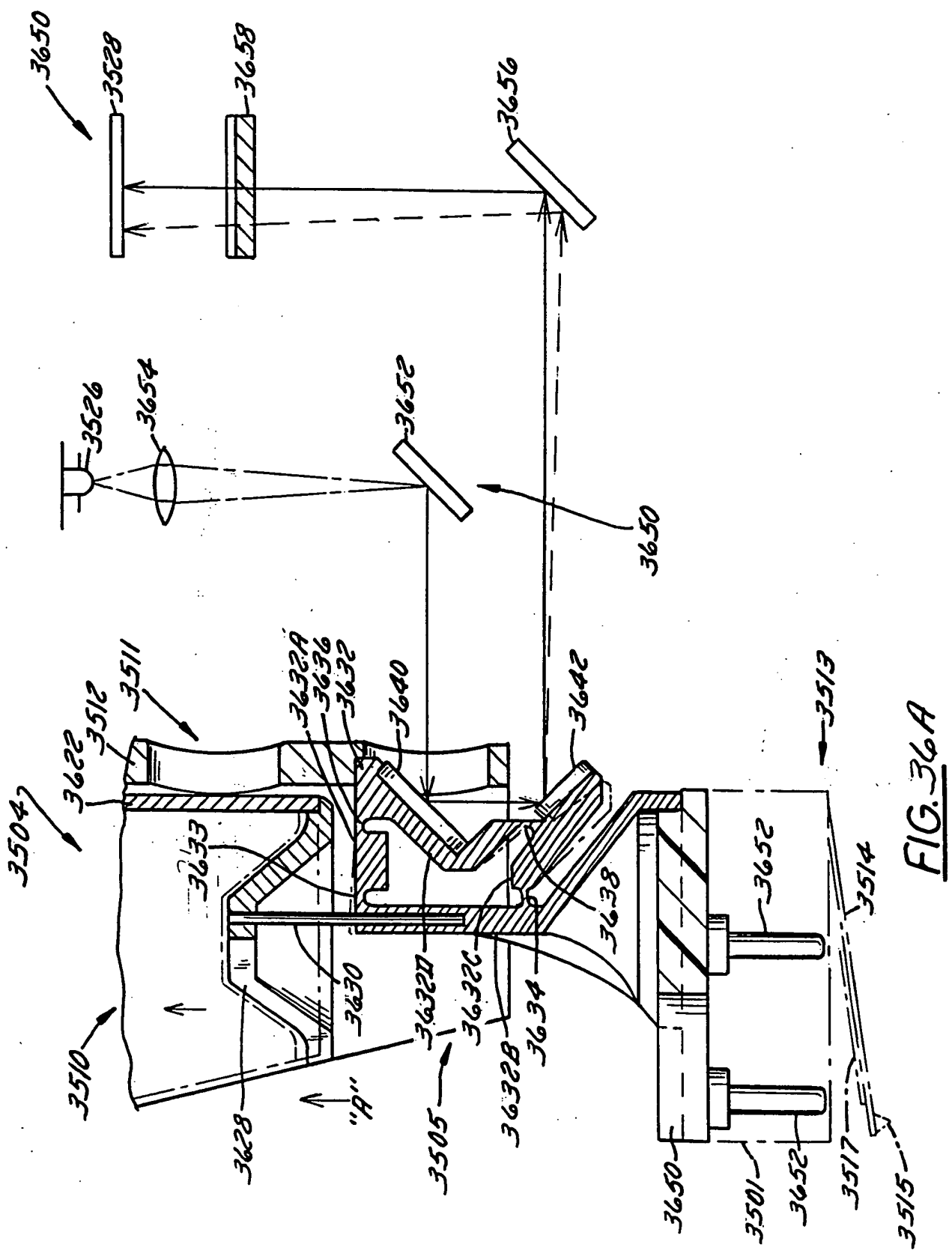


FIG. 36A

6132672626 020820

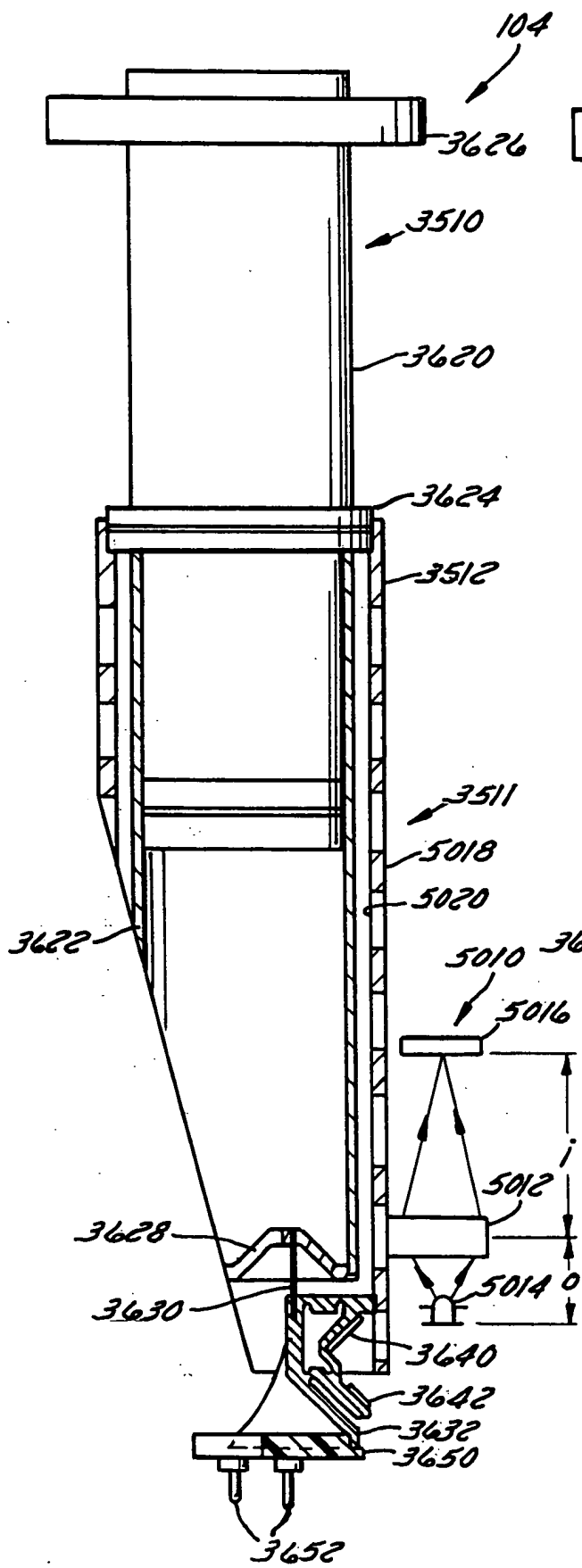


FIG. 36B

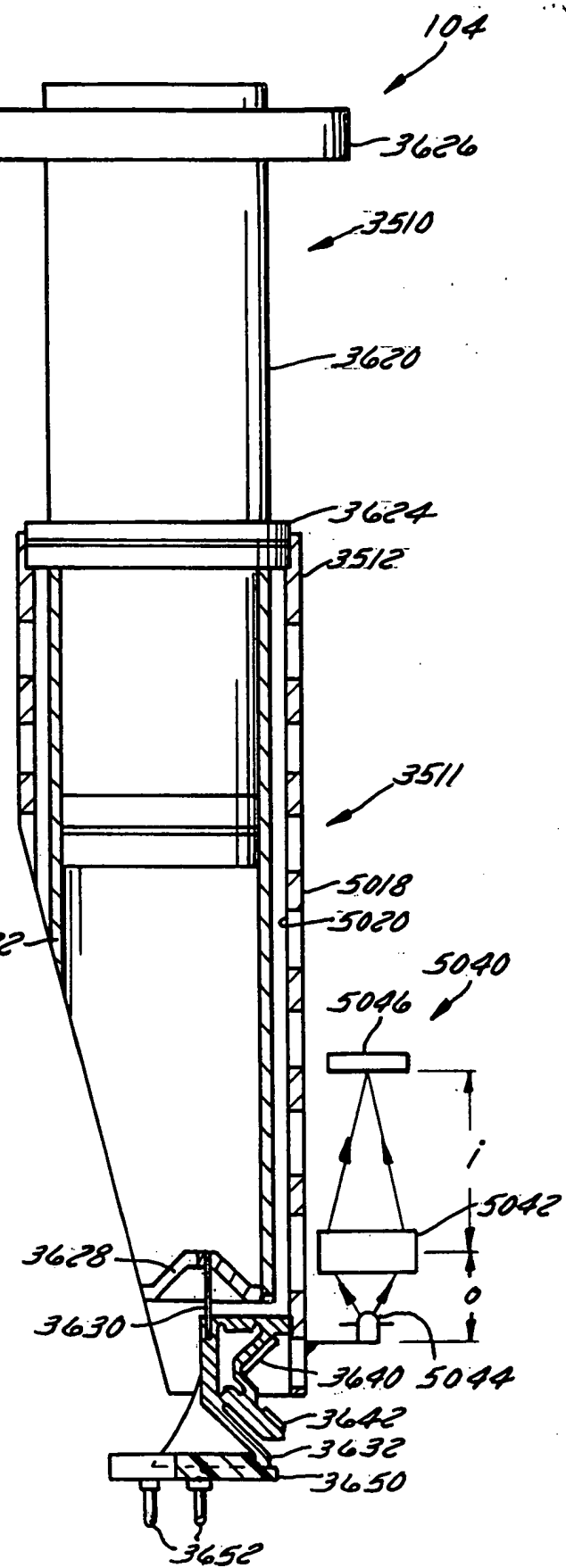


FIG. 36C

02203377 02203000

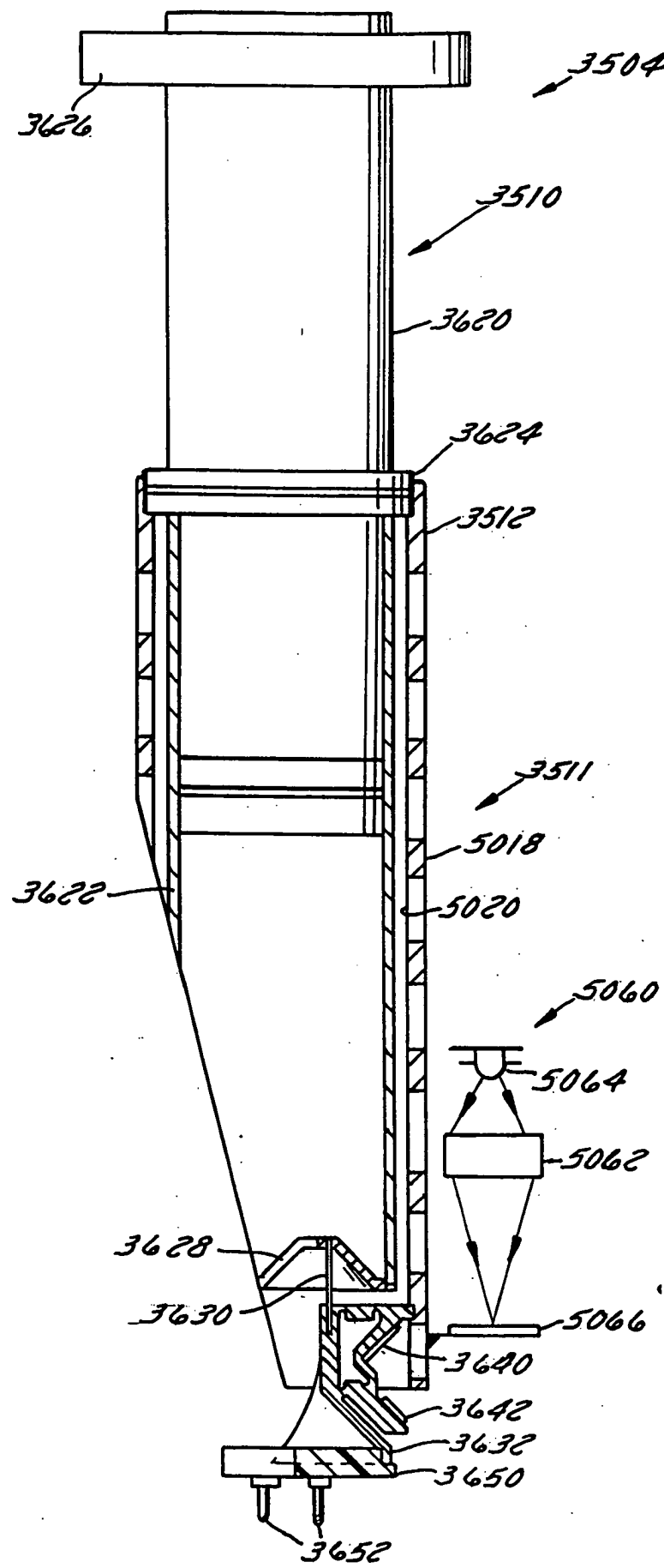


FIG. 36A

3526 3507 3706 3700 3509
3704 3528 3620 3510 3622

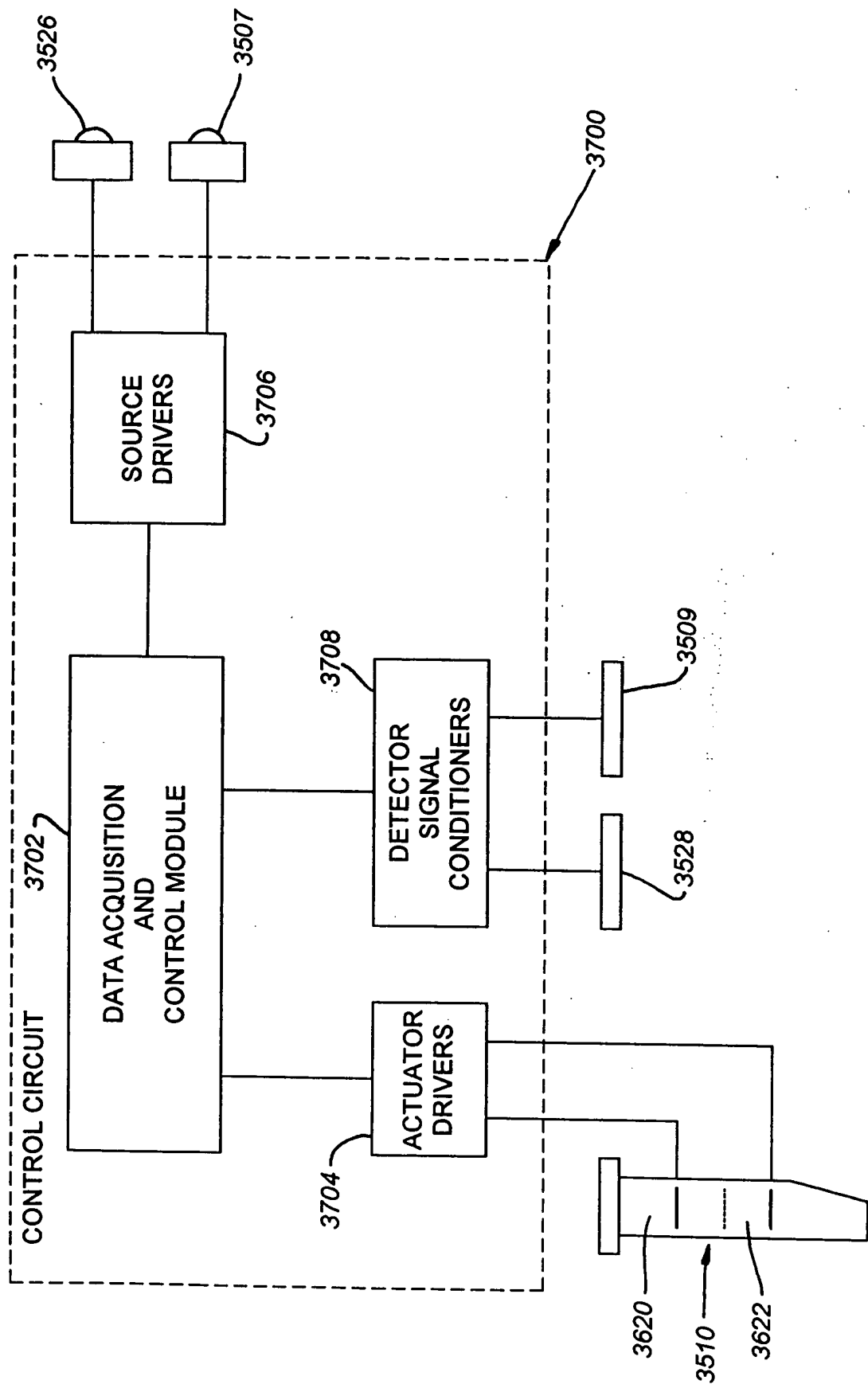


FIG. 37

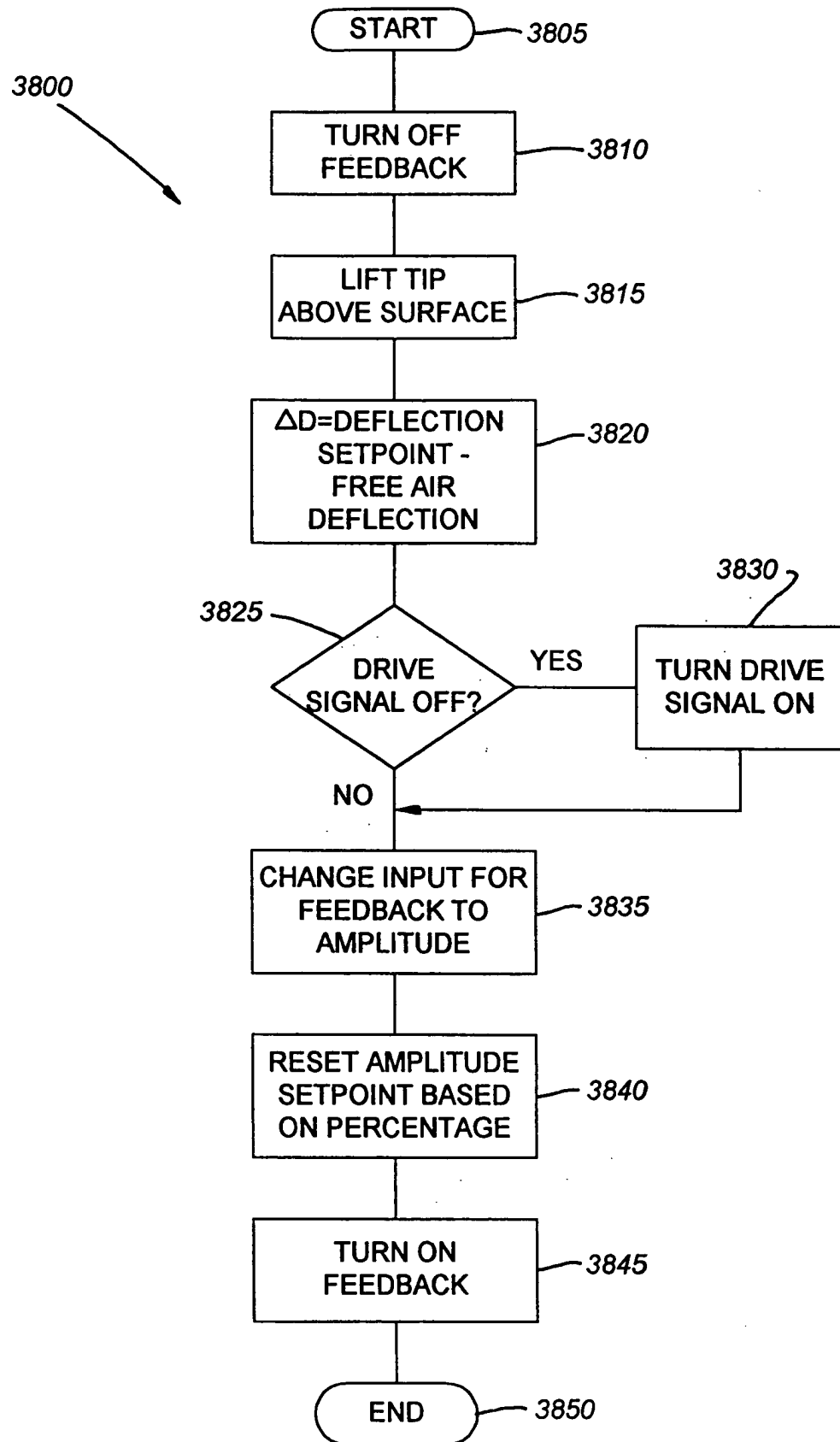


FIG. 38

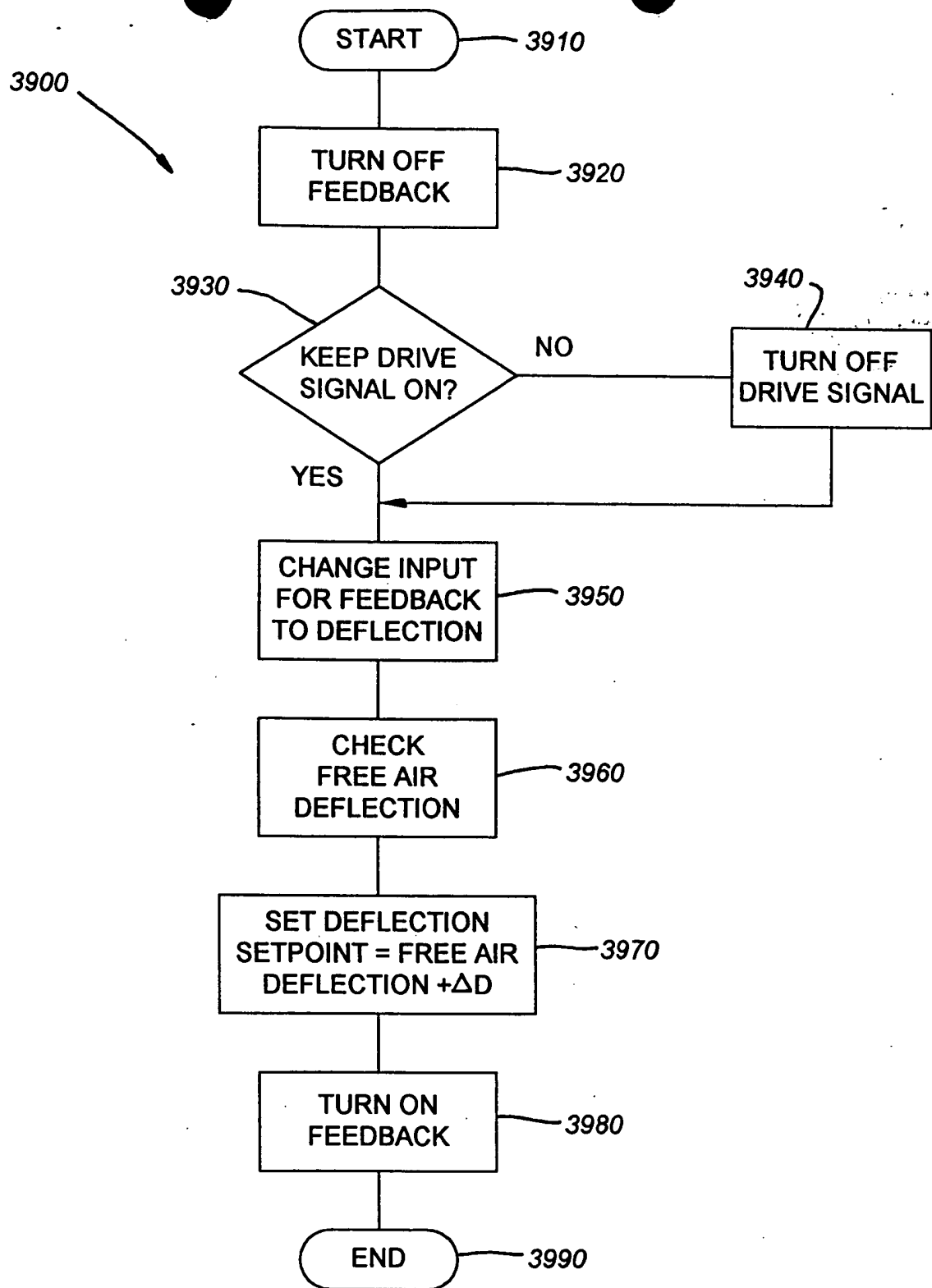


FIG. 39

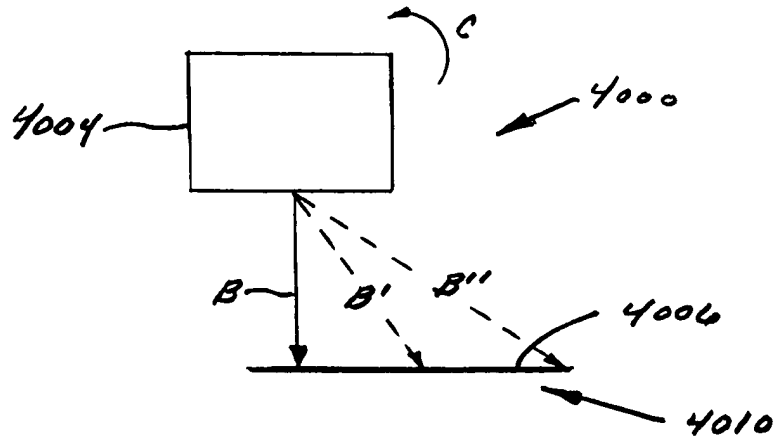


FIG. 40

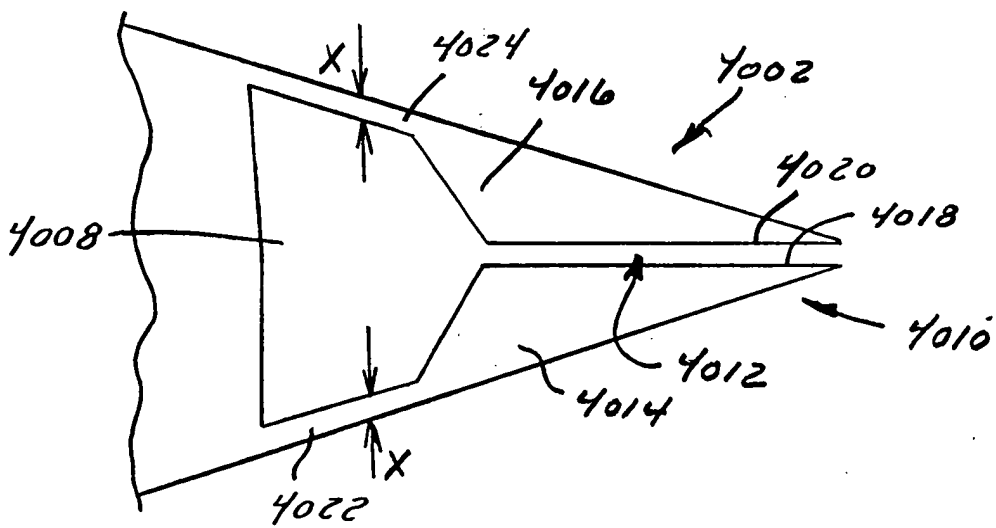


FIG. 41

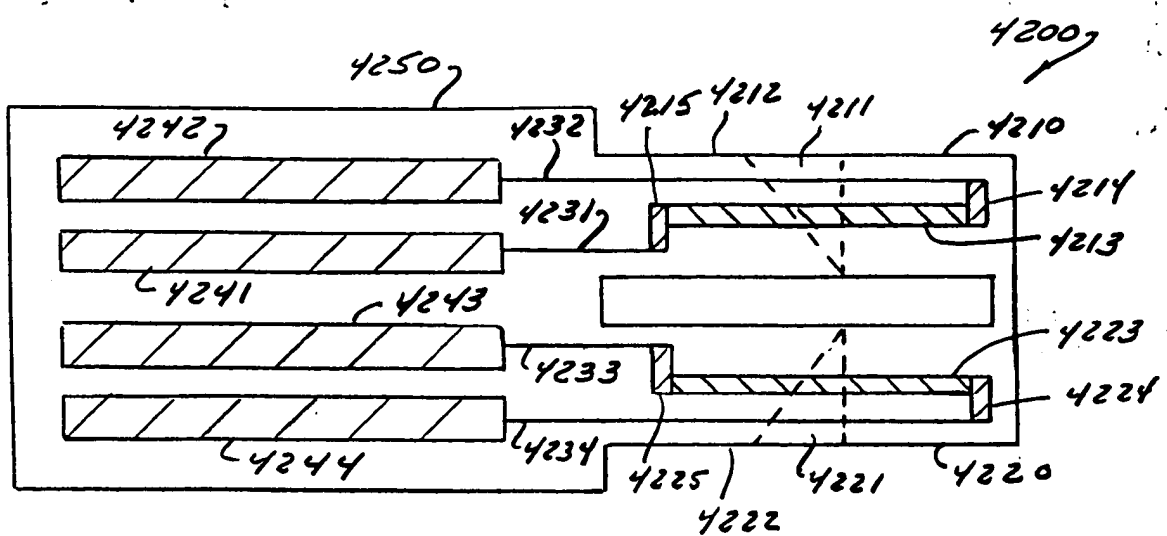


FIG. 42

